

I FORO INTERNACIONAL DE NANOTECNOLOGÍA

Miércoles 07 de diciembre de 2016
Auditorio de la Universidad Continental

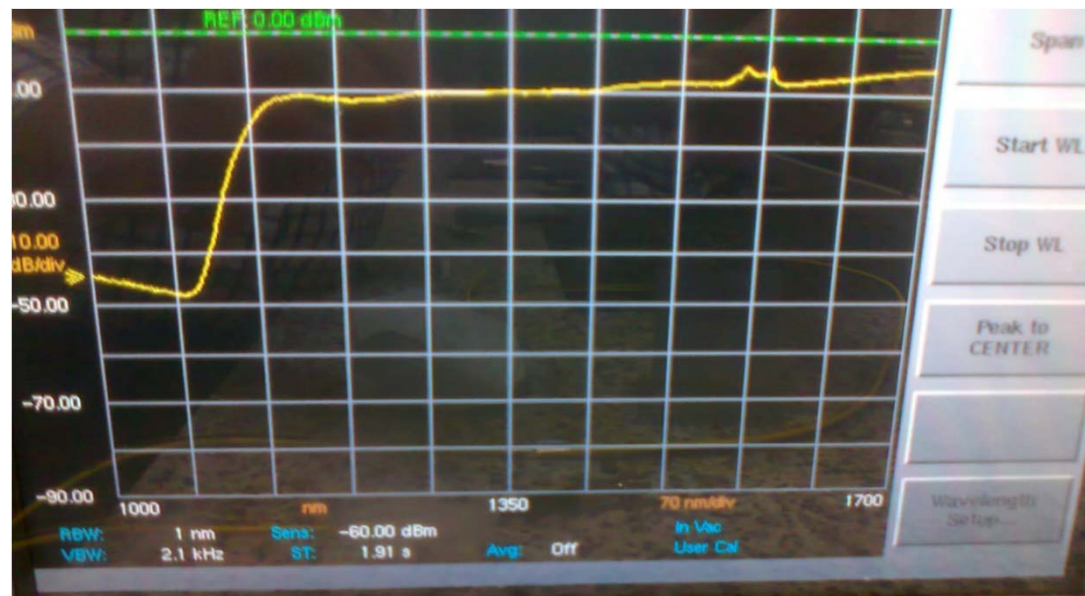


FUENTES DE SUPERCONTINUO BASADAS EN AMPLIFICADORES DE FIBRA ÓPTICA DOPADA CON ERBIO Y FIBRAS ALTAMENTE NO LINEALES

José Eduardo Saldaña Díaz
Universidad de Zaragoza (UNIZAR), España

SUPERCONTÍNUO (SC)

Propagación de pulsos láser ultracortos en un medio transparente sufren un ensanchamiento espectral.



Ecuación de Schrödinger no lineal generalizada (NLSE) en el dominio del tiempo

$$\begin{aligned}\frac{\partial A}{\partial z} + \frac{\alpha}{2} A - \sum_{k \gg 2} \frac{i^{k+1}}{k!} \beta_k \frac{\partial^k A}{\partial T^k} &= \\ = i\gamma \left(1 + i\tau_{shock} \frac{\partial}{\partial T} \right) (A(z, T) \int_{-\infty}^{\infty} R(T') |A(z, T - T')|^2 dT')\end{aligned}$$

En el lado izquierdo:

α , coeficiente de atenuación

β_k , coeficientes de dispersión asociados a la serie de expansión de Taylor

En el lado derecho:

γ , coeficiente no lineal

EQUIPOS Y MATERIALES

AMPLIFICADORES DE FIBRA ÓPTICA DOPADA CON ERBIO (EDFAs)

ANALIZADOR DE ESPECTROS ÓPTICOS (OSA)

MONOCROMADOR

CHOPPER

LOCK-IN

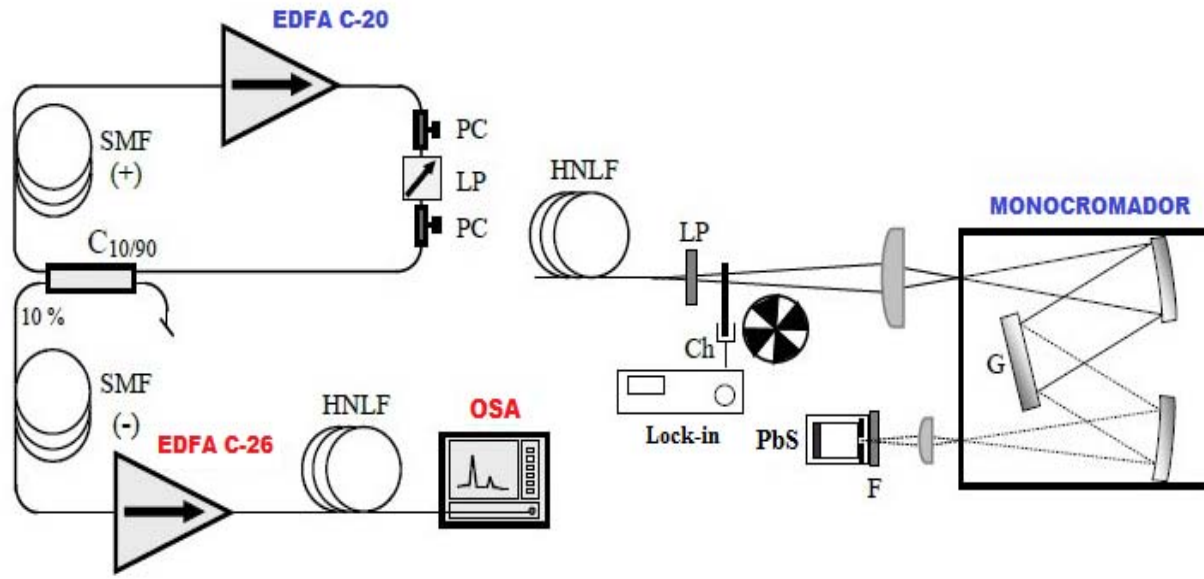
FIBRA ÓPTICA MONOMODO SMF (+)

FIBRA ÓPTICA MONOMODO SMF (-)

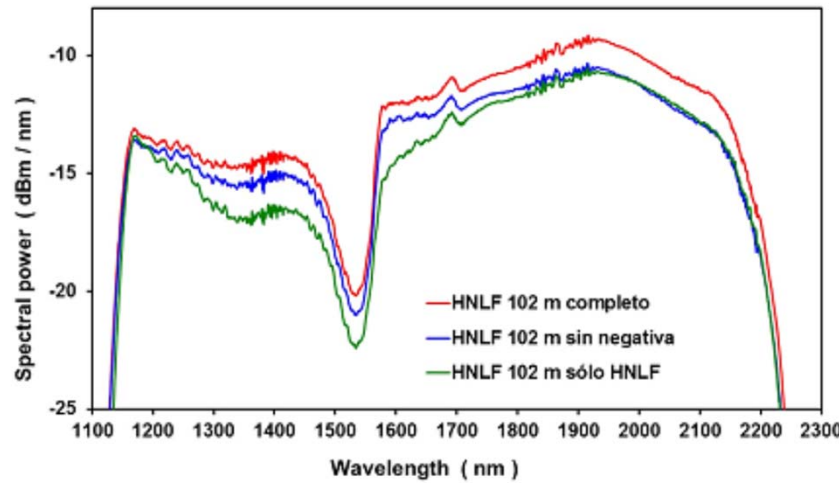
FIBRA ÓPTICA ALTAMENTE NO LINEAL (HNLF)



ARREGLO EXPERIMENTAL

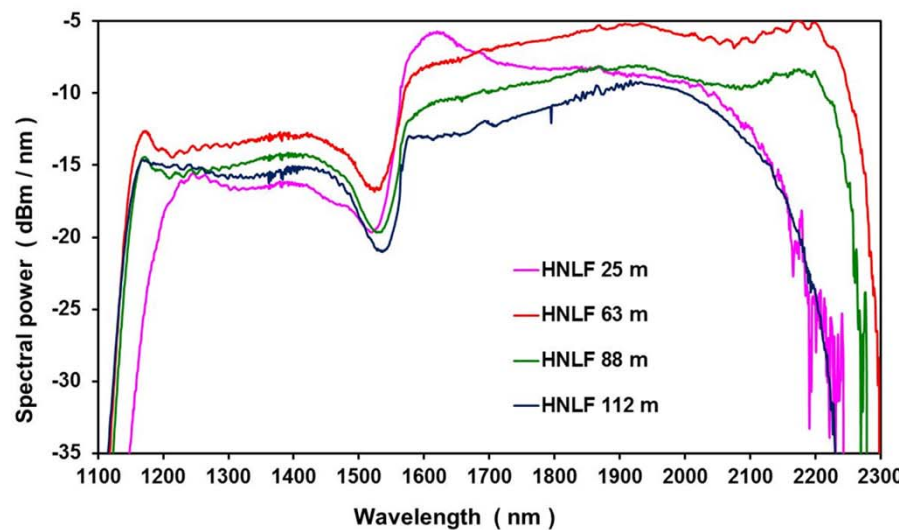


OPTIMIZACIÓN DE FIBRA ÓPTICA SMF (+) Y SMF (-) PARA GENERAR EL SC



OPTIMIZACIÓN DE FIBRA ÓPTICA HNLF, para generar el sc

El espectro supercontinuo generado por la HNLF depende de su longitud



LONGITUDES DE FIBRA ÓPTICA

optimizada para generar el sc

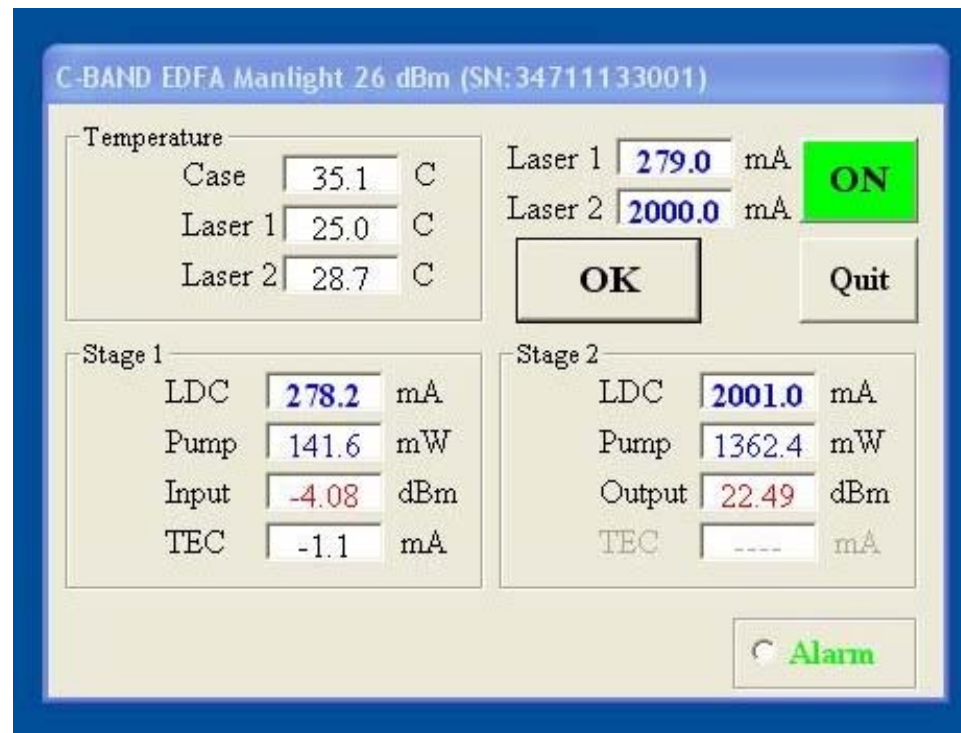
SMF (+) 111 m

SMF (-) 22 m

HNLF 25 m



BOMBEO Y POTENCIA DE SALIDA DEL LASER



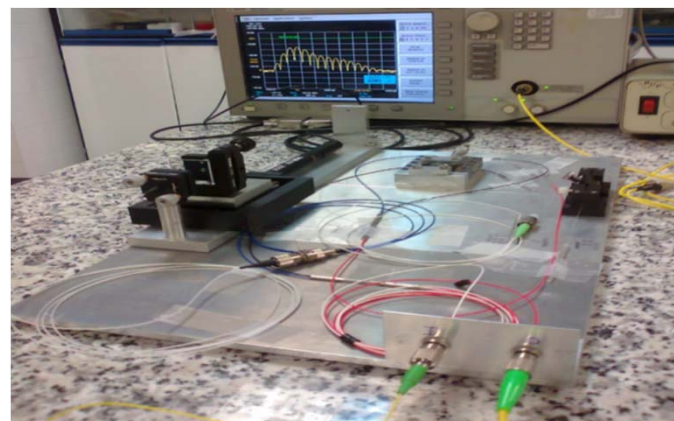
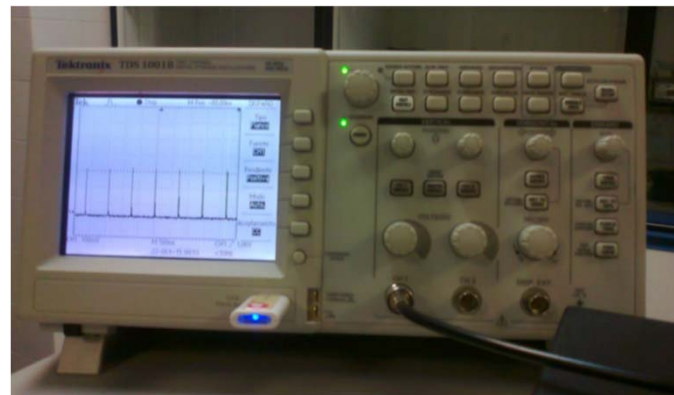
CADENCIA, ANCHURA, ENERGÍA Y POTENCIA DEL PULSO LÁSER

$v = 1,4 \text{ MHz}$

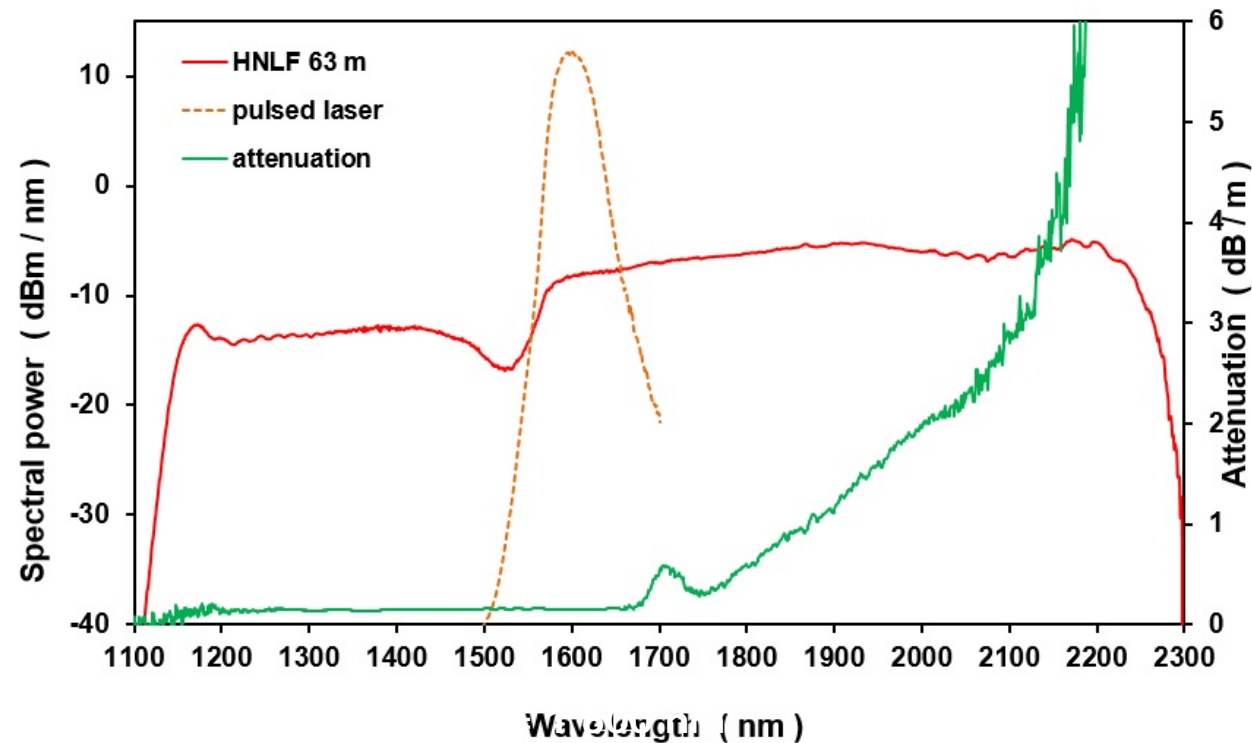
$\Delta\tau = 165 \text{ fs}$

$E = 130 \text{ nJ}$

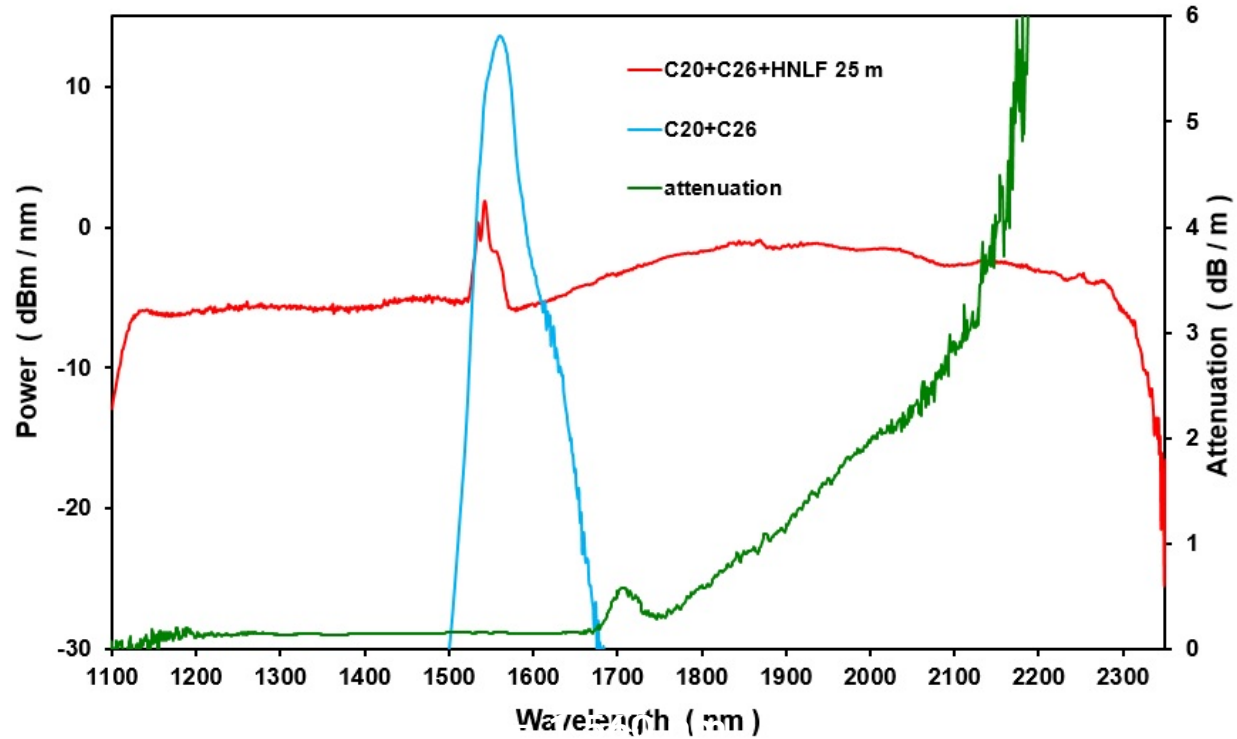
$P = 770 \text{ KW}$



ESPECTRO DE UN PULSO LÁSER Y SUPERCONTINUO PARA UN EDFA L-20



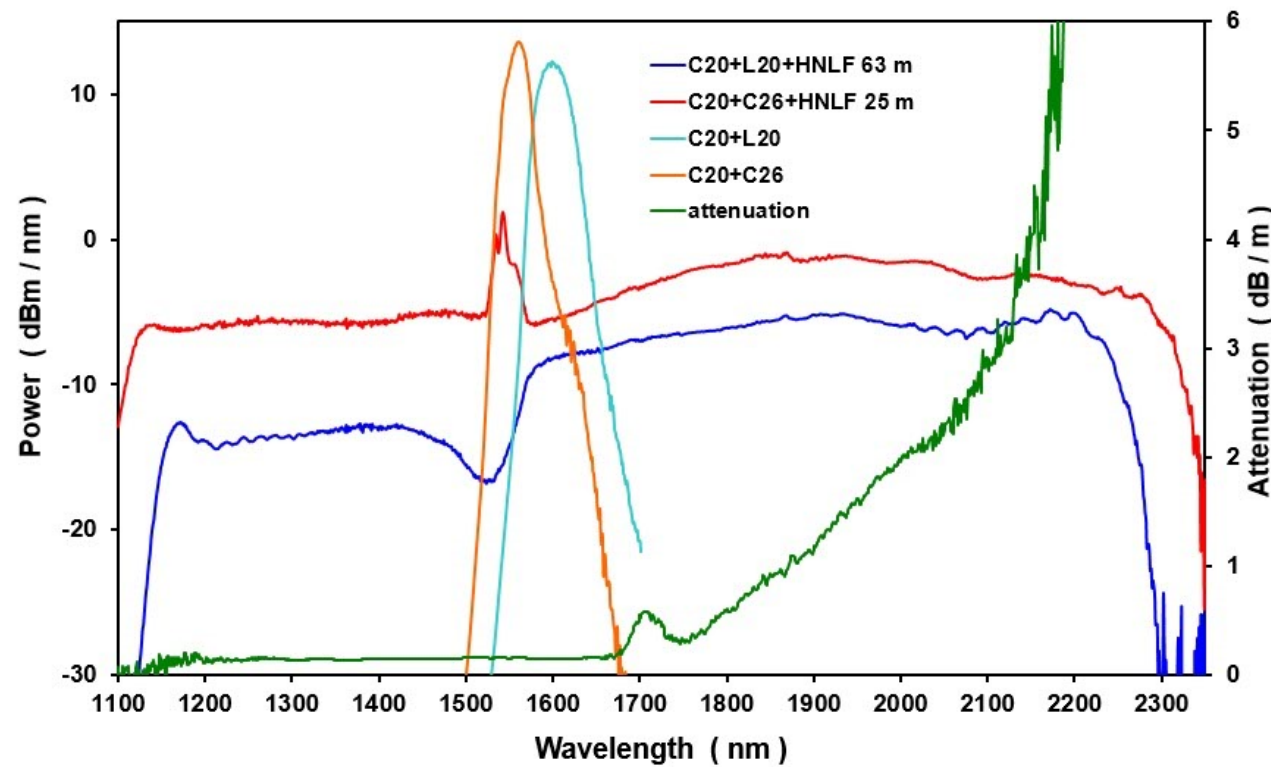
ESPECTRO DE UN PULSO LÁSER Y SUPERCONTINUO PARA UN EDFA C-26



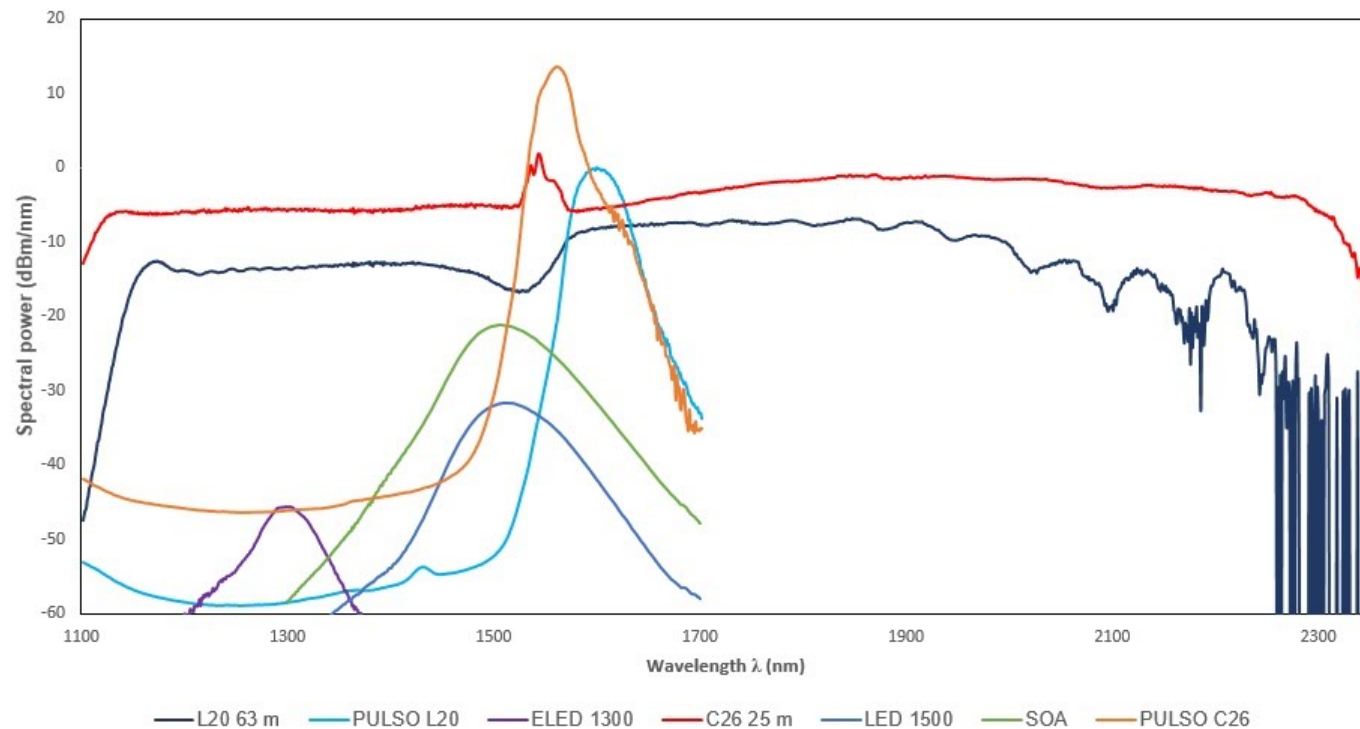
ANCHURA ESPECTRAL DEL SUPERCONTINUO GENERADO

Potencia mínima (dBm/nm)	λ_{\min} (nm)	λ_{\max} (nm)	$\Delta\lambda$ (nm)
-3	1 719	2 189	470
-6	1 134	2 304	1 170
-11	1 106	2 330	1 224
-13	1 101	2 336	1 235

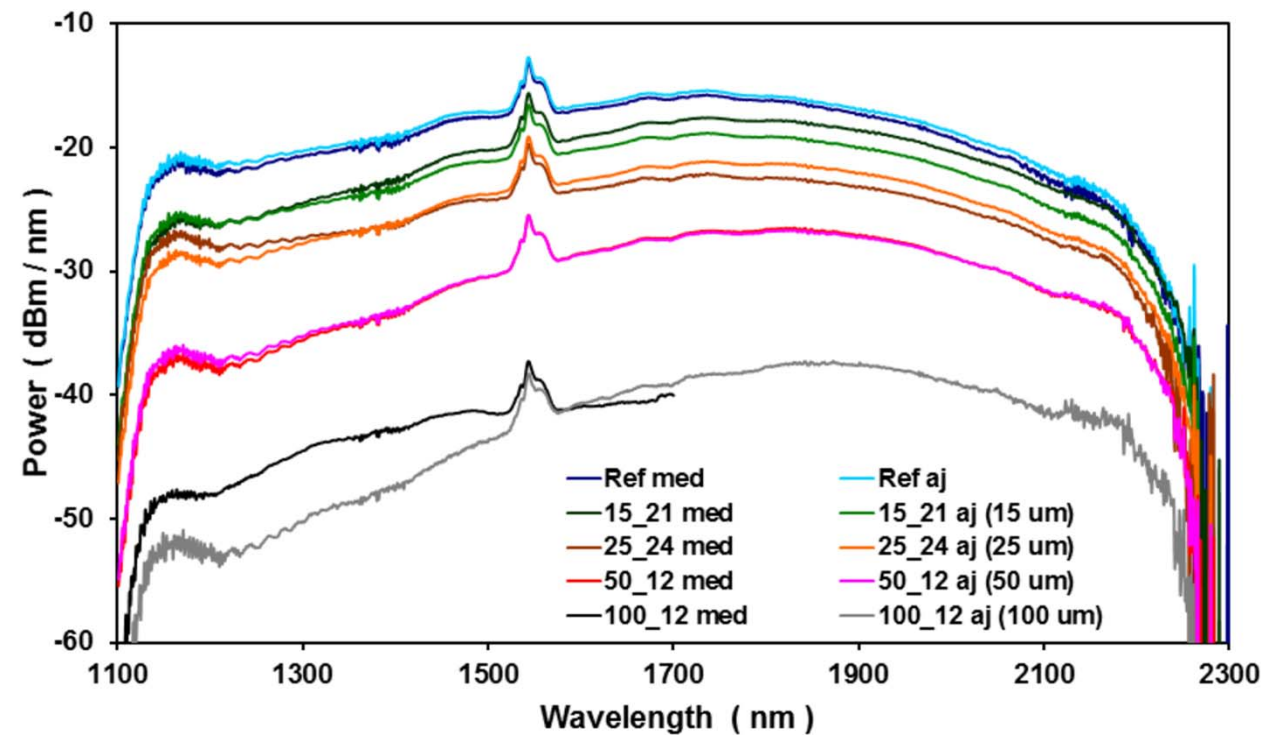
COMPARACIÓN DE ESPECTROS ENTRE UN EDFA L-20 Y UN EDFA C-26 USADOS COMO SEGUNDO AMPLIFICADOR



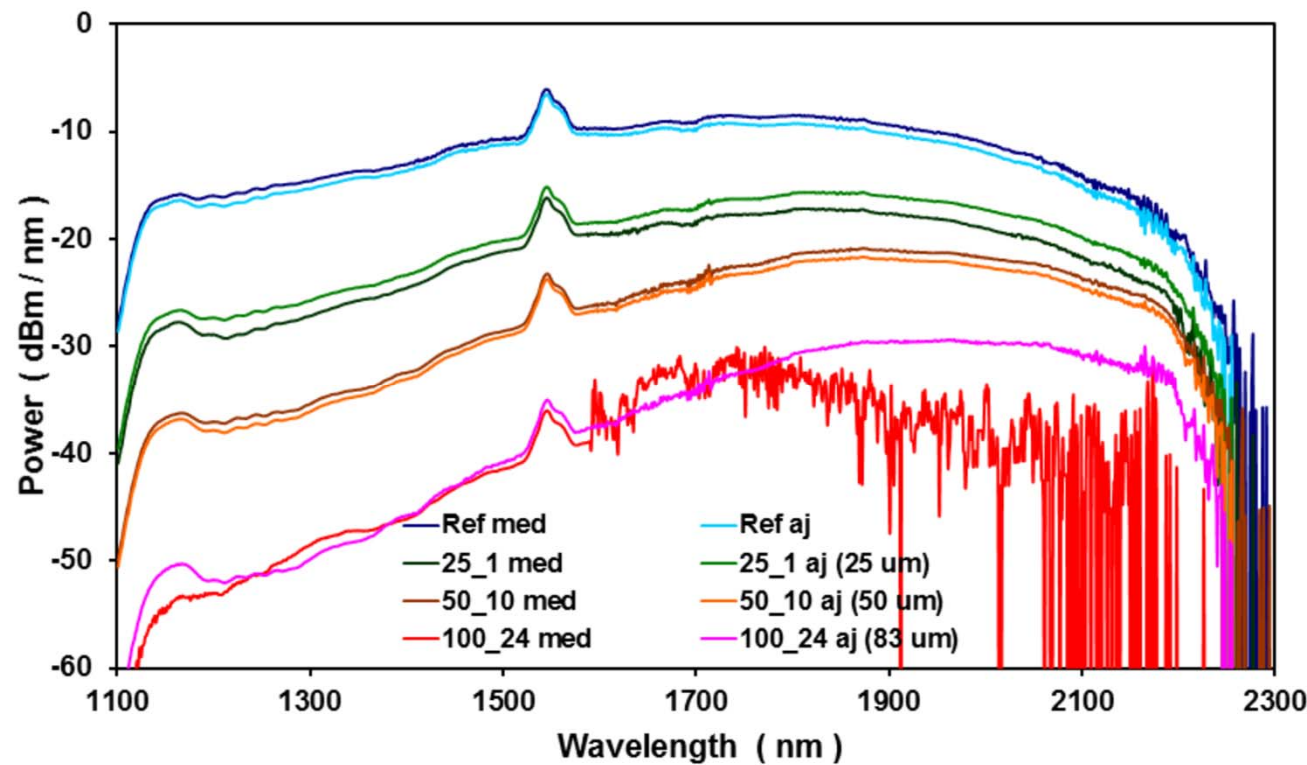
COMPARACIÓN DE ESPECTROS CON OTRAS FUENTES



MEDIDA DE ATENUACIÓN ESPECTRAL EN TEJIDOS DE RETINA



MEDIDA DE ATENUACIÓN ESPECTRAL EN TEJIDOS DE CEREBRO



REFERENCIAS

Alfano R R, editor. The Supercontinuum Laser Source: fundamental with Updated References. Second Edition. New York: Springer; 2006.

Dudley J and Taylor R, editors. Supercontinuum Generation in Optical Fibers. United Kingdom: Cambridge University Press; 2010.

Klimczak M, Siwicki B, Skibinski P, Pysz D, Stepien R, Heidt A, et al. Coherent supercontinuum generation up to 2.3 in all-solid soft-glass photonic crystal fibers with flat all-normal dispersion. *Opt. Express.* 2014; 22 18824-18832.

Gao W, Liao M, Yan X, Suzuki T and Ohishi Y. All-fiber quasi-continuous wave supercontinuum generation in single-mode high-nonlinear fiber pumped by submicrosecond pulse with low peak power. *Appl. Opt.* 2012; 51, 2346-2350.

Swidersky J, and Michalska M. Over three-octave spanning supercontinuum generated in a fluoride fiber pumped by Er & Er: Yb-doped and Tm-doped fiber amplifiers. *Optics & Laser technology.* 2013 52 75-80.

Saldaña-Díaz JE, Jarabo S, and Salgado-Remacha FJ. Octave-spanning supercontinuum generation in highly nonlinear silica fibres based on cost-effective fibre amplifiers. *Laser Phys. Lett.* 2016; 13 095102.

! GRACIAS !

